

پرایمینگ مقاومت علیه *Pseudomonas syringae* pv. *tomato* با استفاده از ترکیب‌های فرار *Bacillus subtilis*

روح الله شریفی^{۱*}، نسرین کاظمی^۲، مسعود احمدزاده^{۳*} و کیوان بهبودی^۴

۱. استادیار بیماری‌شناسی گیاهی، پردیس کشاورزی و منابع طبیعی دانشگاه رازی، کرمانشاه

۲. دانشجوی کارشناسی ارشد زیست‌شناسی گیاهی، دانشگاه پیام نور همدان

۳ و ۴. استاد و دانشیار، بیماری‌شناسی گیاهی، پردیس کشاورزی و منابع طبیعی دانشگاه تهران، کرج

(تاریخ دریافت: ۱۳۹۵/۲/۷ - تاریخ پذیرش: ۱۳۹۵/۹/۲۹)

چکیده

ترکیب‌های فرار میکروبی نقش عمده‌ای در افزایش رشد گیاه و محافظت آن در برابر بیماری‌های گیاهی دارند. در این پژوهش نقش ترکیب‌های فرار سویه GB03 *Bacillus subtilis* در افزایش رشد آراییدوپسیس و القای مقاومت به بیمارگر *Pseudomonas syringae* pv. *tomato* DC3000 بررسی شد. گیاهچه‌های آراییدوپسیس در پتری‌های دو بخشی در معرض ترکیب‌های فرار سویه آنتاگونیست قرار گرفتند. ترکیب‌های فرار توانستند به صورت معنی‌داری رشد گیاه را در مقایسه با شاهد افزایش دهند. تیمار با ترکیب‌های فرار، شاخص بیماری ناشی از *P. syringae* pv. *tomato* DC3000 را از 80×10^8 به 40×10^8 درصد کاهش دادند. جمعیت بیمارگر در تیمار با باکتری آنتاگونیست بیشینه به 1.1×10^8 در گرم وزن تر اندام‌های هوایی رسید درحالی که جمعیت بیمارگر در شاهد تا 1.3×10^8 افزایش پیدا کرد. برای مشخص شدن مسیر پیام‌رسانی درگیر در مقاومت، بیان سه ژن *PR-I*, *PDFI.2* و *ChiB* به ترتیب به عنوان نشانگر مسیرهای سالیسیلیک اسید، جاسمونیک اسید و اتیلن ارزیابی شد. ترکیب‌های فرار باعث افزایش سریع و قوی بیان ژن‌های *PR-I* و *PDFI.2* شد. بیان قوی و سریع این ژن‌ها بیانگر پرایمینگ هر دو مسیر جاسمونیک اسید و سالیسیلیک اسید است. در مجموع ترکیب‌های فرار سویه *B. subtilis* GB03 نه تنها می‌توانند رشد گیاه را به صورت شایان‌توجهی افزایش دهند بلکه باعث افزایش بیان ژن‌های مقاومت و درنهایت کاهش بیماری در آراییدوپسیس نیز شدند.

واژه‌های کلیدی: القای مقاومت سیستمیک، باسیلوس، ترکیب‌های فرار، جاسمونیک اسید، سالیسیلیک اسید.

Priming of resistance against *Pseudomonas syringae* pv. *tomato* in *Arabidopsis* by volatiles of *Bacillus subtilis*

Rouhallah Sharifi^{1*}, Nasrin Kazemi², Masoud Ahmadzadeh^{3*} and Keivan Behboudi⁴

1. Assistant Professor, Department of Plant Protection, Razi University, Kermanshah, Iran

2. M.Sc. Student, Department of Plant Biology, Payame Noor University, Hamadan Iran

3, 4. Professor and Associate Professor, Department of Plant Protection, University College of Agriculture

and Natural Resources, University of Tehran, Karaj, Iran

(Received: Apr. 26, 2016 - Accepted: Dec. 19, 2016)

ABSTRACT

Microbial volatiles have an important role in plant growth promotion and protecting them against plant pathogens. In this work, we evaluated whether *B. subtilis* volatiles promote plant growth and induce resistance against *P. syringae* pv. *tomato* DC3000. *Arabidopsis* seedlings were exposed to bacterial volatiles in two compartments I-plate system. Volatiles increased plant growth significantly compared to control. Exposure of plant with bacterial volatiles reduced disease index from 80% to 40%. Pathogenic bacterial population in plant leaves reached up to 1.1×10^6 CFU/g aerial part wet weight in volatile treatment, however pathogen population reached up to 1.3×10^8 in control plants. Expressions of *PR-I*, *PDFI.2*, and *ChiB* have been evaluated as marker genes for salicylic acid, jasmonic acid and ethylene-dependent pathways, respectively. Bacteria volatiles boosted the expression of *PR-I* and *PDFI.2*, significantly. These genes expressed strongly and rapidly which represented plant defense priming by bacteria volatiles. In conclusion, volatiles from *B. subtilis* GB03 not only improved plant growth significantly but also increased expression of defense-related genes and eventually suppressed disease in *Arabidopsis*.

Keywords: *Bacillus*, induced systemic resistance, jasmonic acid, salicylic acid, volatiles compounds.

* Corresponding author E-mail: R.sharifi@razi.ac.ir, ahmadz@ut.ac.ir

Tel: +98 9181 262 656

www.SID.ir

الایسیتورهای میکروبی همچون تاژک، پیتیدوگلیکان، کیتین و ترکیب‌های فرار را تشخیص می‌دهند (Newman *et al.*, 2013) و از راه هورمون‌های دفاعی همچون سالیسیلیک اسید و جاسمونیک اسید پیام مقاومت را در سراسر گیاه پخش می‌کنند (Glazebrook, 2005). مسیر سالیسیلیک اسید بیشتر توسط بیمارگرهای نکروزه‌کننده و برخی ترکیب‌های شیمیایی ایجاد می‌شود و باعث افزایش بیان ژن‌های مقاومت مانند پروتئین‌های مرتبط با بیماری‌زایی و برخی آنزیم‌ها و مواد فنلی می‌شود. این مسیر بیشتر Pieterse *et al.*, (2012)، در برابر مسیر واپسته به جاسمونیک اسید توسط باکتری‌ها و قارچ‌های سودمند ریشه و برخی مواد شیمیایی القاء می‌شود. در این مسیر ژن‌های دفاعی افزایش بیان ندارند بلکه با افزایش تولید فرم غیرفعال MAP^۱ کینازها و تغییر در کروماتین و هیستون‌ها گیاه آماده افزایش سریع و قوی بیان ژن‌های دفاعی پس از حمله بیمارگر می‌شود. به این پدیده در اصطلاح پرایمینگ ژن‌های دفاعی می‌گویند (Conrath *et al.*, 2015). مسیر جاسمونیک اسید بیشتر علیه بیمارگرهای نکروتروف مانند *Botrytis* و *Alternaria* *Rhizoctonia* مؤثر است.

هدف از آن پژوهش این است که: ۱) نقش ترکیب‌های فرار باسیلوس در افزایش رشد و مقاومت آربیدوپسیس در برابر بیمارگر همی‌بیوتروف *P. syringae* pv. *tomato* DC3000 ۲) مسیرهای پیام‌سانی مقاومت که با ترکیب‌های فرار فعال می‌شوند شناسایی شوند و ۳) مشخص شود که آیا پدیده پرایمینگ ژن‌های مقاومت رخ می‌دهد؟

مواد و روش‌ها

ریزجاذاران مورداستفاده

سویه^۲ *B. subtilis* GB03 از گروه بیماری‌شناسی دانشگاه آوبورن^۳ آمریکا تهیه شد. این سویه به عنوان پایه برای تولید چند فرمولاسیون تجاری از جمله فراورده شناخته‌شده کودیاک استفاده می‌شود. سویه

مقدمه

ترکیب‌های فرار ترکیب‌هایی هستند که در شرایط طبیعی به حد کافی فشار بخار دارند که تبخیر و به صورت گاز وارد اتمسفر شوند. این گروه از مواد شیمیایی حاوی ترکیب‌هایی با وزن مولکولی پایین (کمتر از ۳۰۰ گرم بر مول) هستند. مانند الکلهای، آلدھیدهای، کتون‌ها و هیدروکربن‌ها (Kai *et al.*, 2009). ترکیب‌های فرار واسطه ارتباط بین موجودها هستند که به صورت پیام‌های جذب‌کننده، دفع‌کننده یا هشداردهنده برای موجودها در همه سلسه‌ها استفاده می‌شوند (Schulz & Dickschat, 2007). ترکیب ۱-اوکتن-۳-اول^۱ از باکتری *Paenibacillus polymixia* به شدت باعث کاهش رشد میسلیوم و جلوگیری از جوانه‌زنی قارچ *Botrytis cinerea* شده است (Kishimoto *et al.*, 2007). درک این ترکیب‌ها توسط گیاه منجر به فعال شدن طیف گسترده‌ای از مسیرهای پیام‌سانی می‌شود که در نهایت نه تنها رشد گیاه را به صورت شایان‌ملاحظه‌ای افزایش می‌دهند (Ryu *et al.*, 2003) بلکه مقاومت گیاه به بیمارگرهای نیز افزایش می‌یابد. نخستین بار ریو و همکاران در سال ۲۰۰۳ پدیده اثرگذاری ترکیب‌های فرار باکتری‌ها را روی گیاهان توصیف کردند و دریچه‌ای را روی این زمینه از تحقیقات باز کردند (Ryu *et al.*, 2003). در آن گزارش یاد شده است که ترکیب‌های فرار نه تنها می‌توانند رشد گیاه را تا شش برابر افزایش دهند بلکه به صورت کارآمدی مقاومت گیاه را در برابر بیمارگرهای مهاجم تحрیک می‌کنند. ترکیب ۲ و ۳ بوتان دیول به عنوان عامل اصلی اثرگذاری مشاهده شده در نظر گرفته شد (Ryu *et al.*, 2004). این نتیجه با تحقیقات تکمیلی روی *Pseudomonas chlororaphis* نیز تأیید شد و نشان می‌داد که بوتان دیول نه تنها در افزایش رشد گیاه بلکه در افزایش مقاومت گیاهان به تنش‌های زنده و غیرزنده نیز مؤثر است (Cho *et al.*, 2008).

گیاهان در طول تاریخ تکامل در معرض هجوم بیمارگرهای چندی بوده‌اند و در نتیجه سازوکارهای کارآمدی را علیه آن‌ها توسعه داده‌اند. گیاهان

2. Mitogen Activated Protein Kinase
3. Auburn University

1. 1-octen-3-ol

يک بخش آن ۱۵ ميلی لیتر محیط کشت MS و در بخش دیگر آن ۱۰ ميلی لیتر محیط کشت "TSA" ریخته شده بود. شمار پنج گیاهچه آرایيدوپسیس در بخش حاوی محیط کشت MS به صورت یکنواخت نشاکاری شدند. در بخش دیگر پتری یک قرص کاغذ جاذب سترون به قطر ۵ میلی متر قرار داده شد و میزان ۳۰ میکرو لیتر سوسپانسیون 1×10^9 CFU/ml باکتری معارض یا آنتاگونیست به آن اضافه شد. در شاهد، ۳۰ میکرو لیتر آب مقطر سترون اضافه شد. پتری ها با پارافیلم به خوبی مسدود شدند و برای مدت ۱۴ روز در اتاقک رشد با شرایط یادشده در بالا قرار داده شدند. با توجه به تخریبی بودن نمونه برداری برای تعیین جمعیت بیمارگر و بررسی بیان ژن ها، برای هر کدام از موارد دست کم سه تکرار در نظر گرفته شد.

باکتری بیمارگر به مدت یک شب در محیط لوریا بر تانی حاوی ۱۰۰ میکرو گرم در میلی لیتر ریفامپیسین کشت داده شد. سوسپانسیون حاصل سانتریفیوژ شده و با آب مقطر حاوی یک درصد امولسیون کننده سلوت[®] به جمعیت 1×10^7 CFU/ml رسانده شد. پتری های حاوی گیاهچه آرایيدوپسیس از اتاقک رشد خارج شده و در شرایط سترون میزان ۲ میکرو لیتر از سوسپانسیون باکتری بیمارگر به چهار برگ خوب رشد کرده هر گیاهچه آرایيدوپسیس تلقیح شد. سپس پتری ها به مدت سه روز در اتاقک رشد با شرایط یکسان نگهداری شدند تا نشانه های بیماری ظهور کند. ارزیابی میزان بیماری زایی بر پایه شاخص ۵-۰ لی و همکاران (Lee et al., 2012) انجام گرفت و در نهایت داده ها به درصد تبدیل شدند.

برای تعیین جمعیت بیمارگر در برگ ها، گیاهچه ها در زمان های صفر، سه و شش روز پس از مایه زنی از ریشه قطع شدند و با اتانول ۷۰ درصد به مدت ۵۰ ثانیه ضدعفونی سطحی شدند. گیاهچه ها در محلول ۱۰ میلی مolar $MgCl_2$ به صورت همگن (هموژن) درآمدند. پس از چند بار رقیق سازی (سری رقت) در محلول یکسان میزان ۱۰۰ میکرو لیتر از محلول

یادشده توانایی مطلوبی در کنترل بیماری های ریشه گندم، خیار، لوبیا و نخود فرنگی ناشی از جنس های *Pythium* و *Rhizoctonia* همچون *Ongena & Jacques*, 2008; (*Thakore*, 2006) از پژوهشگاه ملی ژنتیک کره جنوبی تهیه شد. این سویه قادر به ایجاد بیماری در گوجه فرنگی و آرایيدوپسیس است.

به منظور نگهداری دراز مدت باکتری، در آغاز سویه های یادشده به مدت ۴۸ ساعت در محیط کشت لوریا بر تانی و در دمای ۳۶ درجه سلسیوس گرم خانه گذاری شدند. ۵ میلی لیتر از این سوسپانسیون غلیظ با ۰/۵ میلی لیتر از گلیسروول ۴ درصد سترون مخلوط شده، و در فریزر با دمای -۸۰ درجه سلسیوس نگهداری شد.

تأثیر ترکیب های فرار سویه GB03 در مهار بیمارگر در این پژوهش از بذر رقم Col-0 آرایيدوپسیس استفاده شد. بذرها به مدت ده دقیقه در محلول هیپوکلریت سدیم ۱ درصد و روی دستگاه شیکر رفت و برگشته ضدعفونی شدند. به منظور رفع هیپوکلریت سدیم اضافی، بذرها چهار بار با آب مقطر سترون، شستشو داده شدند.

بذرها با پیپت پاستور سترون درون پتری های ۹ سانتی متری حاوی ۲۰ میلی لیتر از محیط کشت موراشیک و اسکوگ^۱ ۱/۵ گرم در لیتر سوکروز، ۴/۴ گرم در لیتر نمک ها و ویتامین های MS و ۸ گرم در لیتر آگار گیاهی که pH آن با KOH به ۵/۸ رسید پخش شدند (Lee et al., 2012). به منظور سرماده هی بذرها، پتری ها به مدت یک شب در دمای ۴ درجه سلسیوس نگهداری شدند و در روز بعد به اتاقک رشد با دمای ۲۲ درجه سلسیوس و با شدت نور ۸۰۰۰ لوکس زیر نور لامپ های فلورسنت منتقل شدند. تناوب نوری ۱۶ ساعت روشنایی و ۸ ساعت تاریکی برقرار شد. پتری ها به مدت ۷۲ ساعت در این شرایط نگهداری شدند. پتری های دو بخشی تهیه شد که در

3. Tryptone soy agar
4. Selvet

1. Murashige and Skoog (MS)
2. I-plate

۴ درجه سلسیوس رسانده شد. به هر یک از نمونه‌ها ۹ میکرولیتر از محلول حاوی اجزای زیر اضافه شد. ۲ میکرولیتر بافر $\times 10$ ، ۲ میکرولیتر dNTP، ۱ میکرولیتر بازدارنده RNase، ۱ میکرولیتر آنزیم نسخه بردار Moloney Murine Leukemia Virus معکوس (Invitrogen، MMLV-RT) ساخت امریکا) و ۳ میکرولیتر آب مقطر بدون RNase، نمونه‌ها به مدت یک ساعت در دمای ۳۷ درجه سلسیوس نگهداری شدند. سپس با قرار دادن آن‌ها در ۷۰ درجه سلسیوس به مدت پنج دقیقه فعالیت آنزیم متوقف شد. برای اطمینان از ساخت cDNA، افزایش ژن اکتین آرابیدوپسیس با استفاده از واکنش زنجیره‌ای پلیمراز و در شرایط زیر انجام شد. واکنش PCR در حجم ۲۵ میکرولیتری شامل ۲۰ میکرولیتر از PCR premix (شرکت بیونیر کره‌جنوبی^۱)، ۱ میکرولیتر از غلظت ۱۰ پیکومول آغازگرهای اکتین، ۱ میکروگرم از نمونه cDNA که درنهایت به حجم ۲۵ میکروگرم رسید. فزون‌سازی با برنامه زمانی سه دقیقه واسرتی اولیه در ۹۵ درجه سلسیوس، شمار ۳۹ چرخه شامل سی ثانیه در ۹۵ درجه سلسیوس، سی ثانیه در ۶۰ درجه سلسیوس و سی ثانیه در ۷۲ درجه سلسیوس و درنهایت بسط نهایی به مدت پنج دقیقه در ۷۲ درجه سلسیوس در دستگاه ترموسایکلر (مدل ای‌سایکلر^۲ ساخت شرکت بیورد امریکا) انجام شد.

واکنش Real-time PCR

در این مرحله میزان بیان سه ژن، PR-1 به عنوان نشانگر مسیر وابسته به سالیسیک اسید، ژن PDF1.2 به عنوان نشانگر مسیر وابسته به جاسمونیک اسید و ChiB به عنوان نشانگر مسیر وابسته به اتین برسی شد (Song *et al.*, 2015). از ژن اکتین به عنوان ژن خانه‌دار (کنترل داخلی) استفاده شد (جدول ۱).

رقیق شده مورد نظر روی تشک پتری حاوی محیط کشت لوریابرترانی حاوی ۱۰۰ میکروگرم در میلی‌لیتر ریفامپیسین کشت داده شد به منظور بررسی میزان بیان ژن‌های مقاومت در فاصله‌های زمانی ۰، ۳، ۶ و ۱۲ ساعت پس از تلقیح بیمارگر نمونه‌برداری انجام شد. برای نمونه‌برداری، همه گیاهچه‌های سه پتری در هر تیمار از قسمت ریشه جدا شده و بی‌درنگ به لوله‌های حاوی نیتروژن مایع منتقل شدند. نمونه‌ها تا زمان بررسی در دمای ۸۰-درجۀ سلسیوس نگهداری شدند.

بررسی بیان ژن‌های مرتبط با مسیرهای پیام‌رسانی استخراج RNA کل و ساخت cDNA

نمونه‌ها از فریز -۸۰- خارج شده و درون نیتروژن مایع قرار داده شدند. هاون‌های چینی با بازدارنده RNase به خوبی تمیز شده، با نیتروژن مایع سرد شدند. در همه مراحل با افزودن نیتروژن مایع از ذوب شدن نمونه‌ها جلوگیری شد. نمونه‌ها درون هاون پودر شده و به لوله‌های ۱۵ میلی‌لیتری دربار متنقل و درون نیتروژن مایع قرار داده شدند. استخراج RNA کل با استفاده از تریزول (اینوبیتروژن، امریکا^۳) و بر پایه دستور کار شرکت سازنده انجام شد.

برای تعیین غلظت RNA از فناوری نانو دراپ^۴ که با آب بدون RNase کالیبره شده بود، استفاده شد. جذب نمونه‌ها در دو طول موج ۲۶۰ و ۲۸۰ نانومتر خوانده و نسبت جذبی ۲۶۰/۲۸۰ محاسبه شد. نمونه‌های که نسبت جذبی آن‌ها بالاتر از ۱/۸ بود، پذیرفته شدند و در غیر این صورت دوباره استخراج RNA صورت گرفت. کیفیت RNA استخراج شده در نمونه‌ها با الکتروفورز در ژل اکاروز ۱ درصد ارزیابی شد.

به منظور تولید cDNA میزان ۲ میکروگرم از استخراج شده در حجم ۱۰ میکرولیتر آب بدون RNase تهییه شد. ۱ میکرولیتر از آغازگر OligodT به نمونه‌ها اضافه شد و نمونه‌ها به مدت پنج دقیقه در ۷۰ درجه سلسیوس نگهداری شدند. سپس دمای آن‌ها به

3. Bioneer, South Korea
4. Icycler Bio-Rad

1. Invitrogen, Curlsbad, USA
2. NanoDrop Technology

جدول ۱. پرايمرهای مورد استفاده در اين پژوهش

Table 1. Primers used in this study

Primers	Sequences	Accession numbers
PR1_F	5'-CCAGACAAGTCACCGTACCC-3'	PR1 (AT2G14610)
PR1_R	5'-CCCTAAAGAACGACACCGTCAA-3'	PR1 (AT2G14610)
PDF1.2_F	5'-AATGAGCTCTCATGGCTAAGTTGCTCC-3'	PDF1.2 (AT5G44420)
PDF1.2_R	5'-AATCCATGGAATAACACAGATTAGCACC-3'	PDF1.2 (AT5G44420)
ChiB_F	5'-GCTTCAGACTACTGTGAACC-3'	CHIB (AT3G12500)
ChiB_R	5'-TCCACCGTTAATGATGTTCG-3'	CHIB (AT3G12500)
AtActin_F	5'-GTTAGCAACTGGGATGATATGG-3'	AtACT2 (AT3G18780)
AtActin_R	5'-CAGCACCAATCGTGATGACTTGCCC-3'	AtACT2 (AT3G18780)

روش مدل خطی^۳ SAS 9.1, SAS institute, (SAS) Cary, NC انجام گرفت. نرمال بودن پراکنش دادهها پیش از تجزیه آماری با نرمافزار SAS آزمایش شد.

نتایج و بحث

در این آزمون از پتری‌های دو بخشی استفاده شد که در آن گیاه در معرض ترکیب‌های فرار ناشی از سویه *B. subtilis* GB03 قرار می‌گرفت. در پتری شاهد که بدون سویه آنتاگونیست و در پی آن ترکیب‌های فرار ناشی از آن بود، گیاهان بهشدت توسط بیمارگر آلوده شدند و میزان آلودگی به بیش از ۸۰ درصد رسید (شکل ۱). اما ترکیب‌های فرار ناشی از سویه *B. subtilis* GB03 می‌توانستند، گسترش بیماری را بهشدت کاهش دهند و به ۱۰ درصد برسانند. ترکیب‌های فرار نه تنها شدت بیماری را کاهش دادند بلکه بهصورت معنی‌داری رشد گیاهچه‌های آرابیدوپسیس را نیز افزایش دادند (شکل ۱). میانگین وزن پنچ بوته یک پتری دیش ۰/۹ گرم بود و تیمار با ترکیب‌های فرار این میزان را به ۳/۴ گرم رساند. گزارش‌های دیگری از افزایش رشد گیاه به‌واسطه ترکیب‌های فرار وجود دارد. وسپرمن و همکاران (Vespermann et al., 2007) نشان دادند که باکتری‌های *Serratia*, *Bacillus* و *Burkholderia* می‌توانند کم‌وپیش رشد آرابیدوپسیس را افزایش دهند. نقش ترکیب‌هایی همچون بوتان دیول (Rudrappa et al., 2010; Ryu et al., 2003) و استوین در افزایش رشد گیاه به اثبات رسیده است. البته گزارش‌های محدودی از تأثیر منفی ترکیب‌های فرار در رشد گیاه موجود است. سیانید هیدروژن که توسط گروه کوچکی از باکتری‌ها از جمله

مخلوط واکنش (۱۰ میکرولیتر) شامل ۵ میکرولیتر مخلوط پایه بریلیون سایبر گرین^۱ (ساخت شرکت بیورد امریکا)، ۱ میکرولیتر از cDNA، ۱ میکرولیتر از محلول ۱۰ پیکومول هر یک از آغازگرها بود که با ۳ میکرولیتر آب بدون نوکلئاز به حجم ۱۰ میکرولیتر رسید. برای هر نمونه افزون بر سه تکرار آزمایشی، سه تکرار تکنیکال هم در نظر گرفته شد. واکنش PCR در زمان واقعی با استفاده از دستگاه Chromo4 Real-Time-PCR (ساخت شرکت بیورد امریکا) و بر پایه برنامه‌ریزی زیر انجام گرفت.

واسرشت اولیه به مدت ده دقیقه در ۹۵ درجه سلسیوس، آنگاه چهل چرخه در شرایط ۹۵ درجه سلسیوس به مدت سی ثانیه برای واسرشت‌سازی، ۶۰ درجه سلسیوس به مدت سی ثانیه برای اتصال آغازگرها و ۷۲ درجه سلسیوس به مدت ۴۲ ثانیه برای بسط انجام شد. میزان نسبی mRNA با استفاده از نرمال کردن بر پایه میزان بیان mRNA ژن اکتین محاسبه شد. برای محاسبه از رابطه زیر استفاده شد.

$$\text{Ratio} = \frac{(E_{\text{Target}})^{\Delta CP_{\text{Target(control-sample)}}}}{(E_{\text{Ref}})^{\Delta CP_{\text{Ref(control-sample)}}}}$$

که در آن E نمایانگر کارایی فروزن‌سازی است و هنگامی که کارایی افزایش ۱۰۰ درصد باشد بدین معنی است که شمار کپی‌ها در هر سیکل دو برابر می‌شود.

محاسبه‌های آماری

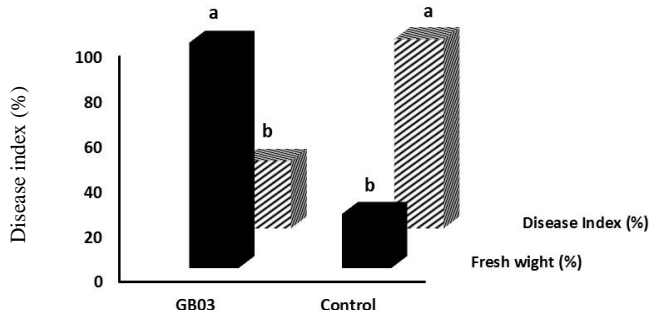
تجزیه واریانس و مقایسه میانگین صفات به روش حداقل تفاوت معنی‌دار^۲ ($P < 0.05$) و با استفاده از

1. Brillion SYBR green

2. Least significant difference

هیدروژن خالص این فرضیه را تأیید کرد (Blom *et al.*, 2011). در یک گزارش گونه *Serratia odorifera* که تولید سیانید در آن قابل اغماض است باعث بازدارندگی از رشد آرابیدوپسیس شده است. این تأثیر منفی به دلیل تولید دی‌متیل دی‌سولفید و ترکیب غیر آلی آمونیاک بوده است (Girón-Calva *et al.*, 2012).

سودومونادها و کروموباکتریومها تولید می‌شود به عنوان عامل اصلی اثر زبانبار سودومونادهای ریزوسفر گندم در نظر گرفته شده است (Blom *et al.*, 2011). بررسی‌های بعدی روی آرابیدوپسیس با استفاده از جهش‌یافته (*Pseudomonas* موتانت) سیانید هیدروژن سویه *Pseudomonas protegens* CHA0 و همچنین استفاده از سیانید

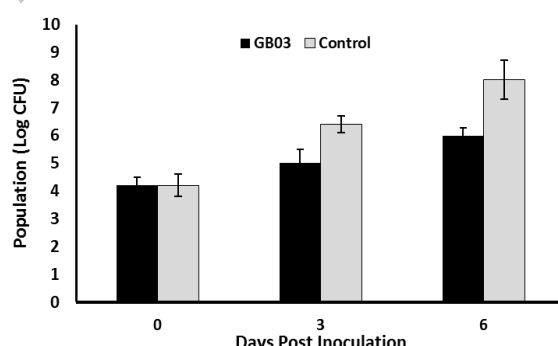


شکل ۱. تأثیر ترکیب‌های فرار سویه *Bacillus subtilis* GB03 در افزایش رشد آرابیدوپسیس و کاهش شدت بیماری باکتری *Pseudomonas syringae* pv. *tomato* DC3000 وزن خشک در تیمار (۴/۳ گرم) به عنوان ۱۰۰ درصد در نظر گرفته شده است و درصد وزنی شاهد نسبت به آن سنجیده شده است.

Figure 1. Effects of volatiles from *Bacillus subtilis* GB03 on Arabidopsis growth promotion and suppression of disease caused by *Pseudomonas syringae* pv. *tomato* DC3000.

مايهزنی رسید (شکل ۲). تیمار با ترکیب‌های فرار گسترش بیمارگر در بافت‌های برگی را به صورت شایان توجهی کاهش داد. در تیمار با ترکیب‌های فرار پس از شش روز از مايهزنی جمعیت بیمارگر به $10^9 \times 1/1$ (یاخته باکتری در گرم وزن تر اندام‌های هوایی) رسید. این نتایج برابر با نتایج به دست آمده از ارزیابی شدت بیماری بود.

افزون بر شدت بیماری، میزان افزایش باکتری بیمارگر در بافت‌های برگی گیاه نیز با روش چندبار رقیق‌سازی انجام شد. نتایج نشان داد، در شاهد جمعیت بیمارگر در برگ‌ها به سرعت افزایش پیدا کرد و از 3×10^4 (یاخته باکتری در گرم وزن تر اندام‌های هوایی) در روز مايهزنی به $1/3 \times 10^8$ (یاخته باکتری در گرم وزن تر اندام‌های هوایی) در شش روز پس از



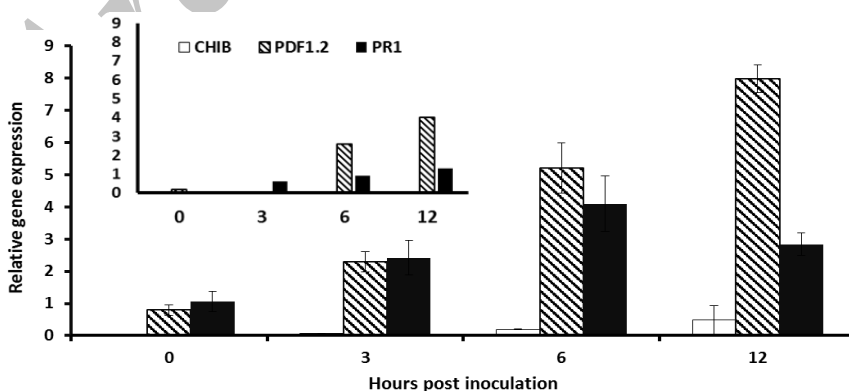
شکل ۲. تأثیر ترکیب‌های فرار سویه *Bacillus subtilis* GB03 در رشد جمعیت بیمارگر *Pseudomonas syringae* pv. *tomato* DC3000 در آرابیدوپسیس. جمعیت باکتری در زمان‌های معین و با استفاده از چندبار رقیق‌سازی انجام گرفت. درنهایت داده‌ها به صورت لگاریتم جمعیت در گرم وزن تر اندام‌های هوایی نشان داده شده است.

Figure 2. Effects of volatiles from *Bacillus subtilis* GB03 on population growth of *Pseudomonas syringae* pv. *tomato* DC3000 in Arabidopsis. Bacterial population have been determined by serial dilution method after 0, 3 and 6 days. Data converted to log CFU/g wet weight of aerial parts.

عامل‌های خارجی باعث می‌شود که گیاه بسیار سریع تر و قوی‌تر از معمول به تنش‌ها پاسخ بدهد (Conrath et al., 2006). تیمار با ترکیب‌های فرار باعث افزایش بیان ژن *PDF1.2* در رویارویی با بیمارگر شد. بیان این ژن در طول زمان بررسی به صورت خطی افزایش پیدا کرد و در ۱۲ ساعت پس از مایه‌زنی با هشت برابر افزایش به بیشینه خود رسید. بنابراین مشخصه خاص پرايمينگ در مورد ژن *PDF1-2* نیز دیده شد. افزایش بیان ژن *PDF1-2* علیه نیمه بیوتروفها معمول نیست (Pieterse et al., 2012) ولی باکتری *Pseudomonas syringae* با تولید پادزی Brooks (آنچه بیوتیک) کروناتین آن را فعال می‌کند (et al., 2005). این پادزی تقليدکننده هورمون جاسمونیک اسید در گیاه است و از این روش باعث فعال شدن مسیر وابسته به جاسمونیک اسید در گیاه می‌شود. شایان توجه است که مسیر اتیلن در این پاتوسیستم به حالت پرايمينگ در نیامد و ترکیب‌های فرار سویه آنتاگونیست نمی‌توانستند تغییر چشمگیری در بیان ژن *ChiB* به وجود آورند. این نتایج با کارهای پیشین همخوانی نداشت. در القای مقاومت به بیمارگر *Pectobacterium carotovorum* مسیر غالباً در القای مقاومت به این بیمارگر، مسیر اتیلن بود و مسیرهای سالیسیلیک اسید و جاسمونیک اسید تأثیر شایان توجهی نداشتند (Ryu et al., 2004).

بررسی کمی بیان ژن‌های نشانگر مقاومت میزان بیان ژن‌های مرتبط با مسیرهای پیام‌رانی مختلف به صورت کمی و با استفاده از روش PCR در زمان واقعی اندازه‌گیری شد. ژن *PR-1a* به عنوان نشانگر مسیر وابسته به سالیسیلیک اسید استفاده شد. فعال شدن این مسیر بیشتر علیه بیمارگرهای بیوتروف و همی‌بیوتروف مؤثر است (Glazebrook, 2005). ژن *PDF1.2* هم توسط مسیرهای جاسمونیک اسید و اتیلن فعال می‌شود. برای جداسازی این دو مسیر آخر از هم، ژن *ChiB* نیز استفاده شد که تنها توسط مسیر اتیلن بیان می‌شود. اگر *PDF1-2* افزایش بیان داشته باشد ولی *ChiB* تحت تأثیر قرار نگیرد، نشان‌دهنده این است که تنها مسیر اسید جاسمونیک فعال شده است (Pieterse et al., 2012).

پس از مایه‌زنی بیمارگر، بیان ژن *PR-1* به سرعت افزایش پیدا کرد و در شش ساعت پس از مایه‌زنی با بیش از چهار برابر افزایش به بیشینه خود رسید (شکل ۳). با گذشت زمان بیان ژن نیز کاهش پیدا کرد. با توجه به اینکه بیمارگر مورد استفاده در این پژوهش یک بیمارگر نیمه بیوتروف است، مسیر سالیسیلیک اسید که نشانگر آن ژن *PR-1* است علیه آن بیشتر مؤثر است. همان‌طور که از الگوی بیان ژن *PR-1* مشخص است این ژن حالت مشخص پرايمينگ را نشان داده است. در پرايمينگ، القاء گیاه توسط



شکل ۳. تأثیر ترکیب‌های فرار بر بیان نسبی ژن‌های مقاومت *PR1*, *PDF1.2* و *CHIB* به ترتیب مرتبط با مسیرهای سالیسیلیک اسید، جاسمونیک اسید و اتیلن. بیان ژن‌ها از مایه‌زنی بیمارگر اندازه‌گیری شد. گراف داخلی مربوط به بیان ژن‌ها در شاهد بدون تیمار با ترکیب‌های فرار است.

Figure 3. Effects of *B. subtilis* volatiles on relative expression of PR1, PDF1.2, and CHIB as markers of salicylic acid, jasmonic acid, and ethylene, respectively. Gene expression assessed 0-12 hours post pathogen inoculation.

Internal graph represents gene expression in control.

پرایمینگ در گیاه، با ارزیابی ژن‌های نشانگر بررسی شد. بنابر تعریف، در گیاه پیش‌تیمارشده با عامل القاکننده، تغییر چشمگیری در بیان ژن‌های مقاومت دیده نمی‌شود. اما با تلقیح بیمارگر، ژن‌های مقاومت افزایش بیان سریعی را نسبت به حالت پیش‌تیمارشده نشان می‌دهند (Conrath, 2011). به عبارتی پرایمینگ باعث پاسخ سریع‌تر و قوی‌تر به بیمارگر می‌شود. در این پژوهش نیز قرار گرفتن آربیدوپسیس در معرض ترکیب‌های فرار سویه *B. subtilis* GB03 باعث تغییر چشمگیری در بیان ژن‌های مقاومت نشد. اما با تلقیح بیمارگر بیان ژن‌های نشانگر به‌ویژه ژن‌های *PDF1.2* و *PR1* به سرعت افزایش پیدا کرد و در کمترین زمان ۶ یا ۱۲ ساعت به بیشینه خود رسیدند. در گیاه‌چهای پیش‌تیمارشده این افزایش بیان با تأخیر صورت گرفت و هیچ‌گاه به آن بیشینه نرسید. با توجه به این تفسیرها می‌توان چنین نتیجه گرفت که علت کاهش نیافتن رشد گیاه در تیمار با ترکیب‌های فرار سویه *B. subtilis* GB03، سوای از تأثیر محرک رشدی آن‌ها در بروز پدیده پرایمینگ توسط این ترکیب‌ها است. ترکیب‌های فرار به‌جای اینکه باعث افزایش مستقیم بیان ژن‌های دفاعی شوند و از این بابت هزینه‌های بی‌خودی را به گیاه تحمل کنند، تنها واکنش دفاعی گیاه را به حالت آماده‌باش در می‌آورند و تنها در زمان حضور بیمارگر این واکنش‌ها به فعل می‌رسند.

نتیجه‌گیری کلی

یکی از کاستی‌های القای مقاومت سیستمیک در گیاه به‌ویژه به‌واسطه مواد شیمیائی و بیمارگرهای، هزینه‌های است که این مقاومت به گیاه تحمل می‌کند و در پی آن باعث کاهش رشد گیاه می‌شود (Heil, 2002). گزارش‌ها در مورد مواد القاکننده مقاومت همانند *BTH* و *INA* نشان می‌دهند که این مواد به‌محض کاربرد باعث فعال شدن واکنش‌های دفاعی در گیاه می‌شوند که نتیجه ظاهری آن با کاهش رشد گیاه‌چهای شایان ارزیابی است (Hahm et al., 2012). علت این پدیده را چنین تفسیر می‌کنند که گیاه منابع محدودی دارد و صرف این منابع در واکنش مقاومت باعث خارج شدن این منابع از مسیر افزایش رشد گیاه می‌شود. در حقیقت گیاه سازوکاری را برای تخصیص هزینه‌ها استوار کرده است که در نبود بیمارگر مقاومت گیاه در حالت کمینه قرار می‌گیرد. حال فعال کردن مقاومت با القاکننده‌ها و در نبود بیمارگر باعث تحمل هزینه‌های اضافی به گیاه می‌شود (Heil, 2001). البته در مورد القای مقاومت با باکتری‌های محرک رشد گیاه به‌طور معمول کاهش رشد دیده نمی‌شود. در این پژوهش القای مقاومت با ترکیب‌های فرار سویه *B. subtilis* GB03 نه تنها باعث کاهش رشد گیاه نشد، بلکه نسبت به شاهد رشد آن چند برابر افزایش پیدا کرد. برای تفسیر این نتیجه امکان بروز پدیده

REFERENCES

- Blom, D., Fabbri, C., Eberl, L. & Weisskopf, L. (2011). Volatile-mediated killing of *Arabidopsis thaliana* by bacteria is mainly due to hydrogen cyanide. *Applied Environmental Microbiology*, 77, 1000-1008.
- Brooks, D. M., Bender, C. L. & Kunkel, B. N. (2005). The *Pseudomonas syringae* phytotoxin coronatine promotes virulence by overcoming salicylic acid-dependent defences in *Arabidopsis thaliana*. *Molecular Plant Pathology* 6, 629-639.
- Cho, S. M., Kang, B. R., Han, S. H., Anderson, A. J., Park, J. Y., Lee, Y. H., Cho, B. H., Yang, K. Y., Ryu, C. M. & Kim, Y. C. (2008). 2R, 3R-butanediol, a bacterial volatile produced by *Pseudomonas chlororaphis* O6, is involved in induction of systemic tolerance to drought in *Arabidopsis thaliana*. *Molecular Plant Microbe Interaction*, 21, 1067-1075.
- Conrath, U. (2011). Molecular aspects of defence priming. *Trends in Plant Science*, 16, 524-531.
- Conrath, U., Beckers, G. J., Flors, V., Garcia-Agustin, P., Jakab, G., Mauch, F., Newman, M. A., Pieterse, C. M. J., Poinsot, B., Pozo, M. J., Pugin, A., Schaffrath, U., Ton, J., Wendehenne, D., Zimmerli, L. & Mauch-Mani, B. (2006). Priming: getting ready for battle. *Molecular Plant Microbe Interaction*, 19, 1062-1071.
- Conrath, U., Beckers, G.J., Langenbach, C. J. & Jaskiewicz, M. R. (2015). Priming for enhanced defense. *Annual Review of Phytopathology*, 53, 97-117.
- Girón-Calva, P. S., Molina-Torres, J. & Heil, M. (2012). Volatile dose and exposure time impact perception in neighboring plants. *Journal of Chemical Ecology*, 38, 226-228.

8. Glazebrook, J. (2005). Contrasting mechanisms of defense against biotrophic and necrotrophic pathogens. *Annual Review of Phytopathology*, 43, 205-227.
9. Hahm, M. S., Sumayo, M., Hwang, Y. J., Jeon, S. A., Park, S. J., Lee, J. Y., Ahn, J. H., Kim, B. S., Ryu, C. M. & Ghim, S. Y. (2012). Biological control and plant growth promoting capacity of rhizobacteria on pepper under greenhouse and field conditions. *Journal of Microbiology*, 50, 380-385.
10. Heil, M. (2001). The ecological concept of costs of induced systemic resistance (ISR). *European Journal of Plant Pathology*, 107, 137-146.
11. Heil, M. (2002). Ecological costs of induced resistance. *Current Opinion in Plant Biology*, 5, 345-350.
12. Kai, M., Haustein, M., Molina, F., Petri, A., Scholz, B. & Piechulla, B. (2009). Bacterial volatiles and their action potential. *Applied Microbiology and Biotechnology*, 81, 1001-1012.
13. Kishimoto, K., Matsui, K., Ozawa, R. & Takabayashi, J. (2007). Volatile 1-octen-3-ol induces a defensive response in *Arabidopsis thaliana*. *Journal of General Plant Pathology*, 73, 35-37.
14. Lee, B., Farag, M. A., Park, H. B., Kloepper, J. W., Lee, S. H. & Ryu, C. M. (2012). Induced resistance by a long-chain bacterial volatile: elicitation of plant systemic defense by a C13 volatile produced by *Paenibacillus polymyxa*. *PLoS One* 7, e48744.
15. Newman, M.-A., Sundelin, T., Nielsen, J.T. & Erbs, G. (2013). MAMP (Microbe-Associated Molecular Pattern) triggered immunity in Plants. *Frontiers in Plant Science*, 4, 1-25.
16. Ongena, M. & Jacques, P. (2008). *Bacillus* lipopeptides versatile weapon for plant disease control. *Trends in microbiology*, 16, 115-125.
17. Pieterse, C. M., Van Der Does, D., Zamioudis, C., Leon-Reyes, A. & Van Wees, S. C. (2012). Hormonal modulation of plant immunity. *Annual Review of Cell and Developmental Biology*, 28, 489-521.
18. Rudrappa, T., Biedrzycki, M. L., Kunjeti, S. G., Donofrio, N. M., Czymbek, K. J., Paul, W. P. & Bais, H. P. (2010). The rhizobacterial elicitor acetoin induces systemic resistance in *Arabidopsis thaliana*. *Communicative and Integrative Biology*, 3, 130-138.
19. Ryu, C. M., Farag, M. A., Hu, C. H., Reddy, M. S., Kloepper, J. W. & Pare, P. W. (2004). Bacterial volatiles induce systemic resistance in *Arabidopsis*. *Plant Physiology*, 134, 1017-1026.
20. Ryu, C. M., Farag, M. A., Hu, C. H., Reddy, M. S., Wei, H. X., Pare, P. W. & Kloepper, J. W. (2003). Bacterial volatiles promote growth in *Arabidopsis*. *Proceedings of the National Academy of Sciences*, 100, 4927-4932.
21. Schulz, S. & Dickschat, J. S. (2007). Bacterial volatiles: the smell of small organisms. *Natural Product Reports*, 24, 814-842.
22. Song, G. C., Choi, H. K. & Ryu, C.-M. (2015). Gaseous 3-pentanol primes plant immunity against a bacterial speck pathogen, *Pseudomonas syringae* pv. *tomato* via salicylic acid and jasmonic acid-dependent signaling pathways in *Arabidopsis*. *Frontiers in plant science* 6:821. doi: 10.3389/fpls.2015.00821
23. Thakore, Y. (2006). The biopesticide market for global agricultural use. *Industrial Biotechnology Letters* 2, 194-208.
24. Vespermann, A., Kai, M. & Piechulla, B. (2007). Rhizobacterial volatiles affect the growth of fungi and *Arabidopsis thaliana*. *Applied and Environmental Microbiology*, 73, 5639-5641.